

правок за рефракцию  $\Delta\alpha_1$  и  $\Delta\alpha_2$ . Шестая пара явно не согласуется с результатами остальных, так как разность углов наклона составляет всего  $2,7''$ , что практически близко к случаю, когда кривые совпадают и тогда определить этим методом рефракцию невозможно. Вопрос корректности задачи требует дальнейших исследований.

Приведенные формулы и методика определения истинного направления по результатам измерения метеоэлементов и зенитных расстояний при различных состояниях атмосферы справедлива только для однородных, равнинных, поверхностей при малых расстояниях. Особенное внимание нужно уделять измерениям температуры, которые должны строго соответствовать измерениям зенитных расстояний.

Статья поступила в редакцию 28.01.86

УДК 528.32+666.41

Т. Г. ШЕВЧЕНКО, С. Г. ХРОПОТ, С. П. ВЕРГЕЛЕС

## ГЕОДЕЗИЧЕСКИЙ КОНТРОЛЬ ПОЛОЖЕНИЯ РОЛИКОВЫХ ОПОР ВРАЩАЮЩЕЙСЯ ПЕЧИ

Геодезический контроль прямолинейности рабочих осей агрегатов непрерывного производства типа спекальных или обжиговых печей осуществляют с помощью специальных измерительных устройств. Информацию о значениях отклонений от прямолинейности получают, как правило, косвенным путем. При этом возникает необходимость определения размеров деталей опорных узлов подбандажных зазоров, диаметров бандажей и роликов, взаимного расположения осей опорных роликов и т. п. [2, 6]. Наибольшие трудности возникают при определении взаимного расположения опорных роликов, поскольку измерения ведутся обычно в стесненных во времени и пространстве условиях. Применять контактные средства измерений сложно из-за необходимости вскрывать крышки подшипников опорных роликов [4, 5]. Известное бесконтактное устройство для измерения взаимного расположения осей опорных роликов [1] наряду с преимуществами имеет и недостатки. Последние связаны, например, с трудностью определения вертикальной и горизонтальной проекции расстояния между осями.

Предлагаемый метод и устройство для геодезического контроля положения роликовых опор вращающихся печей, на наш взгляд, более эффективны. Метод заключается в определении отклонений от прямолинейности рабочей оси вращающейся печи посредством сравнения действительных и расчетных координат точек оси относительно опорной прямой, закрепляемой на фундаментах печи. Необходимые для этого размеры — диаметры опорных роликов и расстояния между их осями находят бесконтактным способом.

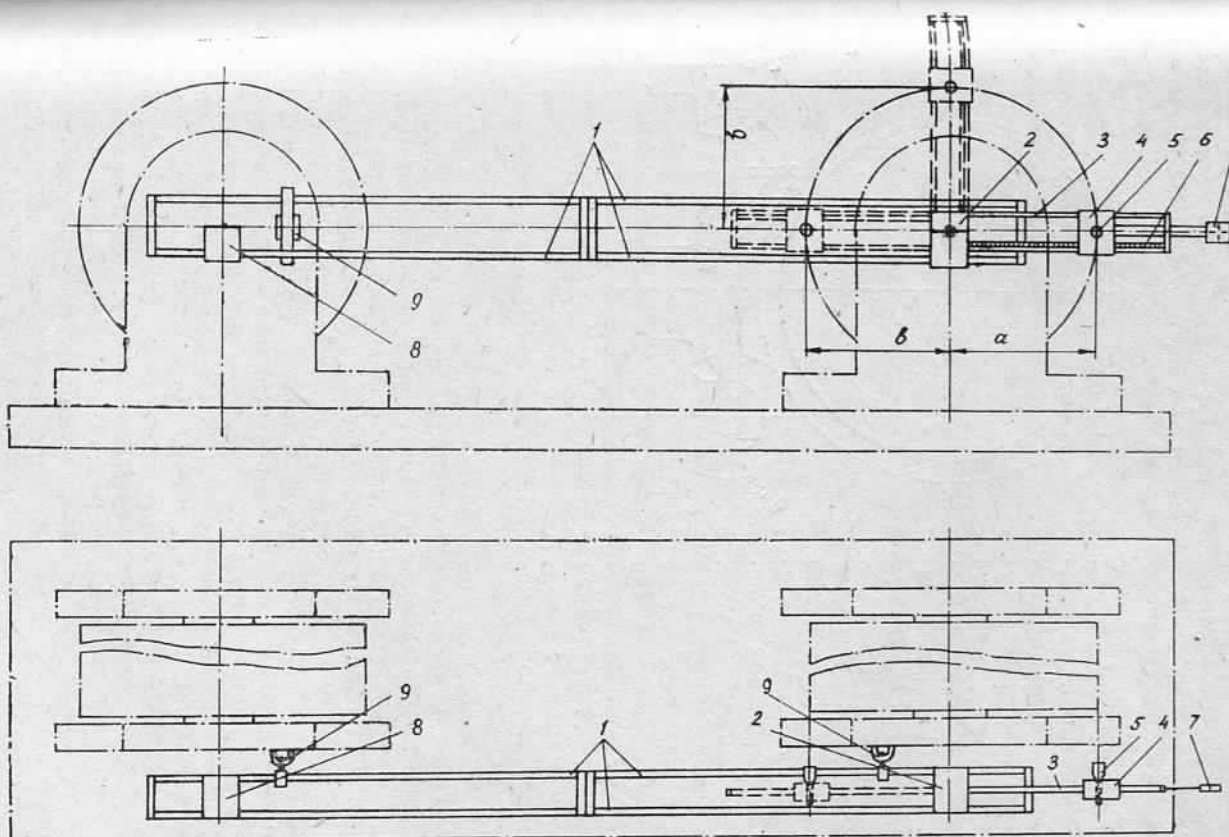


Рис. 1. Схема устройства для измерения взаимного положения осей опорных роликов.

В ряде случаев, когда согласно требованиям ремонта или наладки агрегата отклонения оси от прямолинейности определяют только в проекции на горизонтальную плоскость, вместо опорной прямой закрепляют створ. Конструкция оптического измерителя взаимного положения роликовых опор показана на рис. 1. Она включает основание  $I$ , выполненное из трех труб, на котором установлены два посадочных гнезда  $2$  и  $8$  для оси поворотного индикатора  $3$ . По направляющим индикатора  $3$  ретка  $4$ , в оправке котрой установлена зрительная труба  $5$ . Визирная ось зрительной трубы перпендикулярна торцевой поверхности опорного ролика, параллельна горизонтальной проекции оси вращения печи и пересекается с продольной осью индикатора. Зрительная труба может наклоняться в вертикальной плоскости на небольшой угол. Перемещения зрительной трубы с кареткой отчитываются по шкале  $6$ . На каретке имеется посадочное место для установки створной марки  $7$ . Начало горизонтальной шкалы марки совпадает с видной осью зрительной трубы. Помимо этого марка снабжена вертикальной шкалой, начало которой совпадает с горизонтальной осью индикатора.

На нижней трубе секции  $I$  нанесены линейные деления, что позволяет определить расстояние между посадочными гнездами. Поворотному индикатору можно придать два горизонтальных и одно вертикальное положения с помощью двух уровней. Соответственно ось одного из них — реверсивного — параллельна продольной оси индикатора, а ось второго — перпендикулярна проеционное положение.

В горизонтальном положении индикатор фиксируется в пазах, выполненных в ребрах жесткости основания  $I$ . Оси пазов расположены на одной прямой. Приведение продольной оси индикатора в горизонтальное или вертикальное положение выполняется на винтами. Закрепление оптического измерителя на корпусах подшипников роликовых опор осуществляется узельниками или постоянными магнитами  $9$ .

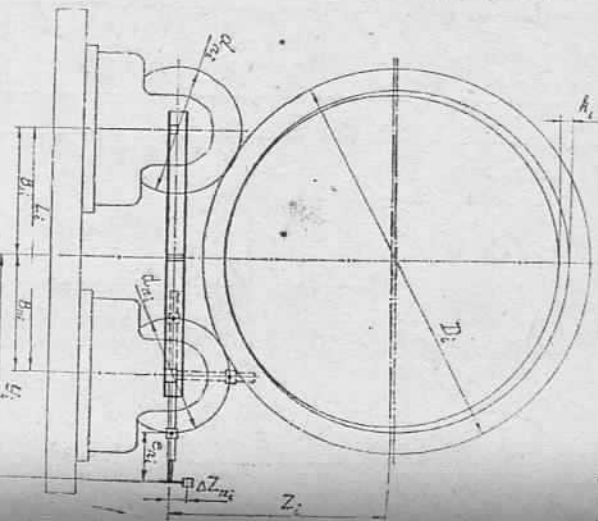


Рис. 2. Схема попечного сечения опорного узла.

Для определения горизонтальной проекции расстояния между осьми роликов поворотный индикатор располагают горизонтально. Устанавливают каретку со зрительной трубой так, чтобы вертикальная нить перекрестья трубы была касательной к торцевой поверхности ролика в двух диаметрально противоположных точках. Горизонтальная проекция расстояния между осями опорных роликов такова:

$$L = l + 1/2(a + a_1 - b - b_1), \quad (1)$$

где  $a$  и  $b$  — отсчеты по шкале индикатора, при установке его у торца одного ролика;  $a_1$  и  $b_1$  — то же при установке индикатора у торца второго ролика;  $l$  — расстояние между двумя положениями оси поворотного индикатора.

Вертикальная проекция того же расстояния — превышение между точками пересечения осей роликов с их торцевыми плоскостями составляет

$$h = g - g_1 + 1/2(a + a_1 - b - b_1). \quad (2)$$

Здесь  $g$  и  $g_1$  — отсчеты по шкале индикатора при установке его вертикально.

Для контроля прямолинейности оси вращения, взаимного положения осей роликов, а также расположения этих осей относительно оси вращения необходимо построить опорную прямую, координаты точек которой известны относительно плановой проекции оси вращения, закрепленной на фундаментах при монтаже.

Однако в процессе эксплуатации или ремонта агрегата риски, закрепляющие на фундаментах плановую проекцию оси вращения, могут быть утрачены. Контроль положения роликопор и прямолинейности оси вращения осуществляют в таких случаях относительно опорной прямой, закрепленной сбоку от роликопор. На рис. 2, представляющем попечное сечение опорного узла, опорная прямая закреплена справа от агрегата.

Координаты оси вращения относительно опорной прямой определяют согласно зависимостям

$$Y_i = B_{\Pi_i} + \frac{d_{\Pi_i}}{2} \pm y_{\Pi_i} + e_{\Pi_i}; \quad (3)$$

$$Z_i = \sqrt{\left(\frac{D_i + d_{\Pi_i}}{2}\right)^2 - B_{\Pi_i}^2} - \frac{k_i}{2} \pm z_{\Pi_i} + \Delta z_{\Pi_i}, \quad (4)$$

где

$$B_{\Pi_i} = \frac{L_i}{2} + \frac{d_{\Pi_i}^2 - d_{\Pi_i}^2 + 2D_i(d_{\Pi_i} + d_{\Pi_i})}{8L} \quad (5)$$

расстояние от точки пересечения оси ролика с плоскостью его торца до плановой проекции оси вращения;  $D_i$  — диаметр бандажа;  $d_{\Pi_i}$ ,  $d_{\Pi_i}$  — диаметры ближнего (правого) и дальнего (левого) по отношению к опорной линии роликов соответственно;  $k_i$  — подбандажный зазор;  $\Delta z_{\Pi_i}$  — расстояние от касательной, перпендику-

лярной оси ролика, до опорной прямой, соответствующее отсчет по горизонтальной шкале марки (см. рис. 2);  $\Delta z_{\Pi_i}$  — проекция вертикальную плоскость расстояния от оси вращения поворотного индикатора до оси ролика, соответствующая отсчету по вертикальной шкале марки;  $L_i$  — расстояние между осями роликов.

Величины  $y_{\Pi_i}$  и  $z_{\Pi_i}$  представляют собой координаты точек осей роликов, расположенных на различных — 1-й и  $i$ -й опорах. Их определяют по формулам

$$y_{\Pi_i} = \frac{(\rho_{\Pi_i}^2 + L_i^2 - \rho_{\Pi_i}^2) \cdot \cos \alpha_{\Pi_i}}{2L_i} \pm \sqrt{\rho_{\Pi_i}^2 - \frac{(\rho_{\Pi_i}^2 + L_i^2 - \rho_{\Pi_i}^2)^2}{4L_i^2}}$$

$$- \frac{(\rho_{\Pi_i}^2 + L_i^2 - \rho_{\Pi_i}^2) \cdot \cos \alpha_{\Pi_i}}{2L_i} \pm \sqrt{\rho_{\Pi_i}^2 - \frac{(\rho_{\Pi_i}^2 + L_i^2 - \rho_{\Pi_i}^2)^2}{4L_i^2}} \cdot \sin \alpha_{\Pi_i}; \quad (6)$$

$$z_{\Pi_i} = \sqrt{\rho_{\Pi_i}^2 - \frac{(\rho_{\Pi_i}^2 + L_i^2 - \rho_{\Pi_i}^2)^2}{4L_i^2}} \cdot \cos \alpha_{\Pi_i} \pm$$

$$\pm \frac{(\rho_{\Pi_i}^2 + L_i^2 - \rho_{\Pi_i}^2)}{2L_i} \cdot \sin \alpha_{\Pi_i} - \sqrt{\rho_{\Pi_i}^2 - \frac{(\rho_{\Pi_i}^2 + L_i^2 - \rho_{\Pi_i}^2)^2}{4L_i^2}} \cos \alpha_{\Pi_i} \pm$$

$$\pm \frac{(\rho_{\Pi_i}^2 + L_i^2 - \rho_{\Pi_i}^2)}{2L_i} \cdot \sin \alpha_{\Pi_i}, \quad (7)$$

где  $\alpha_{\Pi_i}$  — угол наклона линии, соединяющей точки осей роликов, расположенные в одной плоскости, перпендикулярной к оси вращения.

Для контроля прямолинейности оси вращения удобнее пользоваться комплектом из двух устройств. Одно устройство устанавливают у торцов роликов крайней опоры, например, с холодного конца печи, второе у торцов роликов другой крайней опоры с горячего тем поворотный индикатор устанавливают в горизонтальное положение таким образом, чтобы марка располагалась с той стороны, справа (см. рис. 2). На крайней опоре с холодного конца печи (здесь и далее она названа 1-й) располагают подвижную марку на таком расстоянии  $Y_1$  от плановой проекции оси вращения, чтобы было видно марку на крайней опоре с горячего конца печи (здесь и далее она названа  $n$ -й), а также на всех остальных опорах:

$$Y_1 = B_{\Pi_i} + \frac{a_{\Pi_i} + b_{\Pi_i}}{2} + c + e_{\Pi_i}, \quad (8)$$

где  $a_{\Pi_i}$  и  $b_{\Pi_i}$  — отсчеты по шкалам поворотного индикатора, учтывая, что  $\frac{d_{\Pi_i}}{2} = \frac{a_{\Pi_i} + b_{\Pi_i}}{2} + c$ ;  $e_{\Pi_i}$  — отсчет по горизонтальной шкале марки.

Опорная линия будет параллельна прямой, соединяющей центры 1-го и  $n$ -го сечения, если  $Y_1 = Y_n$  и  $Z_1 = Z_n$ :

$$Z_1 = \sqrt{\left(\frac{D_1 + d_{\Pi_i}}{2}\right)^2 - B_{\Pi_i}^2 - \frac{k_1}{2} + \Delta z_{\Pi_i}}, \quad (9)$$

где  $\Delta z_{\Pi_i} = g_{\Pi_i} - \frac{a_{\Pi_i} + b_{\Pi_i}}{2}$ ;  $g_{\Pi_i}$  — отсчет по шкале индикатора, установленного вертикально;  $Y_n = Y_1 \pm y_{\Pi_n}$ ;  $Z_{\Pi_n} = Z_1 \pm z_{\Pi_n} + \Delta z_{\Pi_n}$ .

Параллельность названных линий будет соблюдена, если отсчеты по горизонтальной и вертикальной шкалах будут соответственno

$$e_{\Pi_n} = e_{\Pi_i} + B_{\Pi_i} - B_{\Pi_n} - \frac{a_{\Pi_i} + b_{\Pi_i} - a_{\Pi_n} - b_{\Pi_n}}{2} \pm y_{\Pi_n}; \quad (10)$$

$$\Delta z_{\Pi_n} = z_n - z_i \pm z_{\Pi_n}. \quad (11)$$

Устанавливают на шкалах марок отсчеты  $e_{\Pi_i}$ ,  $\Delta z_{\Pi_i}$ ,  $e_{\Pi_n}$ ,  $\Delta z_{\Pi_n}$ . На 1-й опоре располагают прибор для закрепления опорной прямой и совмещают визирную ось зрительной трубы с центратором на 1-й и  $n$ -й опорах.

При использовании лазерных геодезических приборов с центром марки совмещают ось лазерного пучка. Непрямолинейность оси вращения получают как разницу рассчитанных и измеренных величин  $e_{\Pi_i}$  и  $\Delta z_{\Pi_i}$  на соответствующих шкалах после совмещения центров марок с опорной прямой. При невозможности совмещения опорной прямой с центрами марок на 1-й и  $n$ -й опорах поступают следующим образом. Совмещают визирную ось зрительной трубы или ось лазерного излучения с центром марки на 1-й опоре. При этом смешение ее относительно центра марки на 1-й опоре должно быть соизмеримо с отклонениями от прямолинейности оси вращения. Непараллельность опорной прямой линии, соединяющей центры сечений на 1-й и  $n$ -й опорах, определяют согласно известной методике [3]. Наблюдения ведут по программе полного створа. Измерения повторяют, построив опорную прямую с другой стороны агрегата. При необходимости прямую, соединяющую центры сечений на 1-й и  $n$ -й опорах, можно привести к любой другой опоре. Далее определяют вероятнейшее положение оси вращения согласно рекомендациям [6].

В таблице приведены результаты измерений, полученные во время ремонта печи кальцинации № 1 никалевского объединения «Линозем». Параметры  $L_x$ ,  $e_x$ ,  $Y_x$  измерены при установке устройств у торцов опорных роликов с холодного конца печи,  $L_y$ ,  $Y_y$  — с горячего конца печи.

Опорная линия задавалась визирной осью теодолита Т5. По условиям ремонта величины  $\Delta\pi$ , не измерялись. Значения откло- нений от прямолинейности оси вращения в плане определены, как разница  $Y_1$  и  $Y_2$ .

Средняя квадратическая ошибка определения положения осей опорных роликов и прямолинейности оси вращения равна 0,4 мм.

#### Результаты измерений параметров вращающейся печи $\varnothing 3,6 \times 3,8 \times 51$ м

Опора	Параметр						
	$L_x$	$L_y$	$e_x$	$e_y$	$Y_x$	$Y_y$	$Y_x - Y_y$
1	2754,4	2754,4	248,5	248,7	2223,5	2223,7	-
2	2797,3	2820	227,8	211,5	2228,7	2228,5	-5,1
3	2809,8	2813,3	221,6	225,7	2219,8	2219,6	+3,8
4	2723,5	2728,0	274,0	263,7	2223,3	2223,5	-

Предрасчет точности измерений для крупногабаритных агрегатов длиной до 200 м показал, что средняя квадратическая ошибка должна составить 0,9 мм [3].

Описанные методика и устройство без каких-либо изменений используются и во время работы агрегата.

- Гребенюк В. Г., Савченко А. А., Шевченко Т. Г. К вынужке вращающихся цементных печей геодезическим методами // Теодолит, картография и аэрофотосъемка. 1980. Вып. 31. С. 22–28.
- Кузюк И. В., Микольский Ю. Н., Шевченко Т. Г., Новак В. Е., Кончев В. Г. Современные методы контроля установленной оборудования. Львов, 1982.
- Левицк Г. П., Новак В. Е., Кончев В. Г. Прикладная геодезия. М., 1981.
- Микольский Ю. Н., Кравченко В. М. Въяэрка и центровка промышленного оборудования. К., 1979.
- Платонов В. С., Буренков В. Д., Димитров В. С. Скоростные методы ремонта вращающихся печей. М., 1970.
- Руководство по геодезическому обеспечению монтажа и эксплуатации технологического оборудования цветной промышленности. М., 1983.

Статья поступила в редакцию 08.02.86

УДК 550.34

О. И. ЮРКЕВИЧ

#### КВАЗИСТАТИЧЕСКОЕ НАПРЯЖЕННОЕ СОСТОЯНИЕ ВОСТОЧНОЙ ЕВРОПЫ ПО СОВРЕМЕННЫМ ВЕРТИКАЛЬНЫМ ДВИЖЕНИЯМ ЗЕМНОЙ КОРЫ

Исследование природы современных движений земной коры привело к проблеме выяснения их происхождения и механизма действия. Для постановки прямой и решения обратной задачи оценки внутренних напряжений и перемещений, действующих в земной коре и литосфере, на границе литосферы и астеносферы или на нижней границе астеносферы исходными являются измеренные

на поверхности Земли вертикальные и горизонтальные перемещения. Математические задачи сводятся к моделированию земной коры или литосфера плоскопараллельным пластом, покоящемся на полупространстве, или двумя пластами с разными механическими свойствами, моделирующими литосферу и астеносферу. Самая простая модель — упругий пласт, из реологических — вязкий; в двухслойных моделях в самом простом случае литосфера моделируется упругим пластом, а астеносфера вязким или принимается два вязких пласти с разными коэффициентами вязкости. При выборе моделей исходим из предположения, что реологические свойства земной коры и астеносферы проявляются в вязких течениях с различной скоростью.

Цель математического моделирования — определение напряженного состояния земной коры под действием перемещений на нижней ее границе, влияния конвективных движений и литосферы ипределение напряженного состояния земной коры и литосферы и проявления их в современных движениях поверхности Земли. Особый раздел занимает выяснения образования складок, движений отдельных блоков — клаудий, а также более общих вопросов геотектоники — образования рифтовых зон, отступление ледяного покрова [2, 3, 6, 8, 9].

Вследствие недостатка данных о горизонтальных перемещениях поверхности Земли определения численных значений напряжений базируются в основном на данных о ее современных вертикальных движениях. Горизонтальные перемещения являются основными при оценках горизонтальных компонент напряжений, действующих в земной коре и нижележащих слоях.

Все задачи решаются методами механики твердого деформируемого тела для плоского случая, исходя из того что протяженность пласти намного больше его толщины. В первом приближении, используя методы теории упругости, одновременно принимается, что перемещения малы и пропорциональны действующим напряжениям.

Границные условия сводятся обычно к нулевым значениям напряжений на верхней границе пласти — поверхности Земли — и перемещениям, заданным на нижней границе по экспоненциальному закону. В результате решения теоретических задач оказывается возможным выяснить механизм и природу современных вертикальных движений земной коры, определить основные закономерности проявления и значения напряжений, действующих в земной коре, литосфере [1, 4, 7].

Как одна из задач на определение внутренних напряжений, действующих в земной коре, по современному вертикальному движению поверхности Земли решена задача для плоскопараллельного пласти, моделирующего земную кору при граничных условиях [10]:

$$\begin{aligned}\sigma_y &= \tau_{xy} = 0, & y &= +h, \\ \sigma_y &= g(x), & y &= -h, \\ \tau_{xy} &= 0, & y &= -h,\end{aligned}$$